

ผลกระทบของขนาดอนุภาคและรูปร่างถ่านหินต่อความพรุนและการซึมผ่านอากาศของเพสต์

Effect of Particle Size and Shape of Fly Ash on Porosity and Air Permeability of Paste

ธีรวัฒน์ สินศิริ¹, ชัย ชาตรพิทักษ์กุล² และปริญญา จินดาประเสริฐ³

¹อาจารย์ สำนักวิชาวิศวกรรมโยธา มหาวิทยาลัยเทคโนโลยีสุรนารี, ²รองศาสตราจารย์ ภาควิชาวิศวกรรมโยธา มหาวิทยาลัยเทคโนโลยีพระจอมเกล้าชานนาที, ³รองศาสตราจารย์ ภาควิชาวิศวกรรมโยธา มหาวิทยาลัยขอนแก่น

บทคัดย่อ: บทความฉบับนี้ศึกษาผลกระทบความละเอียด และรูปร่างของถ่านหิน ต่อความพรุน และการซึมผ่านอากาศในเพสต์ ที่ผสมถ่านหินจากโรงไฟฟ้าแม่เมaje และโรงไฟฟ้าระยอง ซึ่งมีขนาดที่แตกต่างกัน 3 ขนาด โดยใช้แทนที่ปูนซีเมนต์ปอร์ตแลนด์ประเภทที่ 1 ในอัตราส่วนร้อยละ 0, 20, และ 40 โดยน้ำหนักของวัสดุประสาน ควบคุมอัตราส่วนน้ำต่อวัสดุประสานให้มีค่าเท่ากัน 0.35 ทดสอบความพรุนโดยใช้ก้าซีเอลีบ์มและการซึมผ่านอากาศของเพสต์ที่อายุการปั่น 28 และ 90 วัน

ผลการทดสอบ พบว่าการแทนที่และความละเอียดถ่านหินมีผลกระทบต่อความพรุนและการซึมผ่านอากาศในเพสต์ โดยการแทนที่ปูนซีเมนต์ปอร์ตแลนด์ประเภทที่ 1 ด้วยถ่านหินจากกรร้อยละ 20 เป็นร้อยละ 40 ส่งผลให้ความพรุนของเพสต์เพิ่มขึ้น และเมื่อแทนที่ถ่านหินที่มีขนาดเด็กในเพสต์ ทำให้ความพรุนลดลง ขณะที่การซึมผ่านอากาศในเพสต์ลดลงเมื่อแทนที่ถ่านหินในปริมาณและความละเอียดเพิ่มขึ้น ความพรุนและการซึมผ่านอากาศของเพสต์ผสมถ่านหินระยองสูงกว่าเพสต์ที่ผสมถ่านหินแม่เมaje เพราะถ่านหินระยองมีรูปร่างเป็นเหลี่ยมและมีความพรุนสูง ในขณะที่ถ่านหินแม่เมaje มีโครงเรียงและรูปร่างกลม รูปร่างกลมของถ่านหินแม่เมaje รายตัวในเพสต์ได้ดีกว่าถ่านหินระยองที่มีรูปร่างเหลี่ยม และถ่านหินระยองมีความเป็นผลึกสูงกว่าถ่านหินแม่เมaje ส่งผลให้การเกิดปฏิกิริยาปอซโซลันต่ำกว่าถ่านหินแม่เมaje

ABSTRACT: This paper presents experimental results on the effect of fineness and shape of fly ash on porosity and air permeability of hardened blended cement pastes. The water-to-binder ratio (W/B) of 0.35 was maintained for tested pastes. Fly ashes from 2 sources (Mae Moh power plant and Rayong power plant) with three different finenesses were used to replace Portland cement at the rates of 0, 20, and 40% by weight of binder. The porosity by helium gas and air permeability were determined at the ages of 28 and 90 days.

Test results indicated that the fineness and percent replacement of fly ash were important parameters affecting on the porosity and air permeability of paste. The porosity of fly ash pastes increased with the increase replacement of fly ash from 20% to 40%. Pastes containing finer fly ash had significantly lower porosity than that with coarser fly ash. The air permeability of fly ash pastes decreased as the percentage replacement and the fineness of fly ash increased. The development of porosity and air permeability of Rayong fly ash pastes were higher than those of Mae Moh fly ash paste. This is due to the shape of Rayong fly ash is the irregular and has high porosity while Mae Moh fly ash has smooth surface with spherical shape. The spherical shape of Mae Moh fly ash provided well distribution in the paste and therefore was convenient points with the paste, for nucleation than the irregular shape of Rayong fly ash. The Rayong fly ash had higher content of crystalline than that of Mae Moh fly ash. This also resulted in lower pozzolanic reaction of Rayong fly ash as compared to Mae Moh fly ash at the same particle size.

คำหลัก: ความละเอียด, รูปร่าง, ถ่านหิน, เพสต์, ความพรุน, การซึมผ่านของอากาศ

1. บทนำ

คุณครีตเป็นวัสดุที่ใช้ในงานก่อสร้างมานานแล้ว โดยพบได้จากสิ่งก่อสร้างทั่วไป เช่น ตึก บ้าน ถนน สะพาน เป็นต้น ในปัจจุบันเทคโนโลยีของการก่อสร้างโครงสร้างคุณครีตเสริมหลักได้ให้ความสำคัญกับความทนทานมากขึ้น เพราะมีผลต่ออายุการใช้งานของโครงสร้างคุณครีต ปัญหาที่ทำให้ความคงทนคุณครีตลดลง ก็คือ การเกิดสนิมในหลัก, การกัดกร่อนจากซัลเฟต, สภาพแวดล้อมที่เป็นกรด, ปฏิกิริยาอัลคาไลก์กับมวลรวม, การแข็งตัวและละลายของน้ำสลับกัน, การตกผลึกของเกลือ, การเกิดการร่วนเนินชั้น เป็นต้น ปัญหาดังกล่าวข้างต้นพบว่ามีกลไกที่คล้ายกัน คือ เกิดจากการซึมผ่านของน้ำในรูปของตัวทำละลาย (น้ำทะเล, น้ำที่มีซัลเฟต, น้ำที่มีกรด ฯลฯ) หรือก้าช (สารบอนไดออกไซด์, ออกซิเจน) เข้ามาในโครงสร้างหรือรูปrunของโครงสร้างคุณครีต ดังนั้นการป้องกันหรือลดความเสียหายที่จะเกิดขึ้น ได้แก่ การออกแบบให้คุณครีตมีการซึมผ่านต่ำ, บ่มคุณครีตให้นานขึ้น, ปรับปรุงคุณภาพส่วนผสมหลักและส่วนผสมเพิ่ม, เคลือบผิวด้วยสารกันซึม เป็นต้น

เพื่อทำให้คุณครีตมีกำลังสูงขึ้น ความทนทานดีขึ้น และลดการซึมผ่าน จำเป็นต้องลดรูปrunในซีเมนต์เพสต์ การใช้วัสดุปูช่าโซลาน (Pozzolan) แทนที่ในปูนซีเมนต์บางส่วนจะช่วยลดการซึมผ่านและความพรุนในซีเมนต์เพสต์ได้ กลไกของวัสดุปูช่าโซลานมี 2 ส่วนคือ ทำให้โครงสร้างรูปrunในซีเมนต์เพสต์แน่นขึ้น และเมื่อทำปฏิกิริยากับแคลเซียมไฮดรอกไซด์จะได้แคลเซียมซิลิกาต์ไอเดรต เป็นผลให้ขนาดของรูปrunในซีเมนต์เพสต์ลดลง และทำให้การซึมผ่านลดลงด้วย

เต้าถ่านหินเป็นวัสดุเหลือทิ้งจากโรงไฟฟ้า นิคุณสมบัติเป็นวัสดุปูช่าโซลาน คุณสมบัติของเต้าถ่านหินจะขึ้นอยู่กับชนิดเต้าถ่านหินและขั้นตอนการเผา ในปัจจุบันประเทศไทยมีเต้าถ่านหินเกิดขึ้นประมาณ 3.5 ล้านตันต่อปี นักวิจัยจำนวนมากศึกษาผลกระทบของเต้าถ่านหินต่อคุณสมบัติทางฟิสิกส์ แต่มีนักวิจัยส่วนน้อยที่ศึกษาผลของเต้าถ่านหินต่อคุณสมบัติโครงสร้างขนาดเล็กเท่านั้น ปริมาณของรูปrun ซึ่งสัมพันธ์กับคุณสมบัติทางฟิสิกส์ ในบทความนี้จึงสนใจที่จะศึกษาผลกระทบของเต้าถ่านหินต่อความพรุน และการซึมผ่านอากาศในซีเมนต์เพสต์

2. วิธีการศึกษา

2.1 วัสดุ

วัสดุที่ใช้ในการทดสอบ ประกอบด้วยปูนซีเมนต์ปอร์ตแลนด์ประเภท 1, เต้าถ่านหินจาก 2 แหล่ง คือเต้าถ่านหินที่มีรูปร่างกลมตันจากโรงไฟฟ้าแม่เมือง (FM) และเต้าถ่านหินที่มีรูปร่างเป็นเหลี่ยมนูน และมีรูปrun จากโรงไฟฟ้าจังหวัดราชบุรี (FR) นำเสนอเต้าถ่านหินแต่ละแหล่งมาแยกให้มี 3 ระดับความละเอียดคือ เต้าถ่านหินจากแหล่งผลิตโดยตรง (O, Original) และนำเสนอเต้าถ่านหินนาปรับปรุงขนาดด้วยการตัดแยกขนาดด้วยลูนให้มีความละเอียด 2 ระดับ คือ เต้าถ่านหินที่มีความละเอียด (F, Fine) และละเอียดมาก (FF, Very Fine)

2.2 อัตราส่วนผสม

ใช้เต้าถ่านหินแทนที่ปูนซีเมนต์ปอร์ตแลนด์ประเภทที่ 1 ในอัตราส่วนร้อยละ 0, 20 และ 40 โดยน้ำหนักของวัสดุประมาณควบคุมอัตราส่วนระหว่างน้ำต่อวัสดุประมาณเท่ากับ 0.35 หล่อตัวอย่างก้อนเพสต์รูปทรงกระบอกขนาด 38 มม. x 50 มม. และกลูนด้วยพลาสติกเพื่อป้องกันการรั่วของน้ำ หลังจากหล่อตัวอย่าง 24 ชั่วโมงจึงถอดแบบออก และนำก้อนตัวอย่างไปแช่ในน้ำ ทำการทดสอบความพรุนโดยใช้ก้าชซีลีเยม และทดสอบการซึมผ่านอากาศตาม ASTM D4525 ที่อุ่น 28 และ 90 วัน

3. วิธีการทดสอบ

3.1 ทดสอบคุณสมบัติของวัสดุ

ทดสอบคุณสมบัติของวัสดุได้แก่ องค์ประกอบทางเคมี, องค์ประกอบแร่ธาตุ, ความละเอียดโดยวิธี Nitrogen Adsorption, การกระจายของอนุภาคด้วยเครื่อง Particle Analyser, และถ่ายภาพขยายอนุภาคด้วยเครื่อง Scanning Electron Microscope

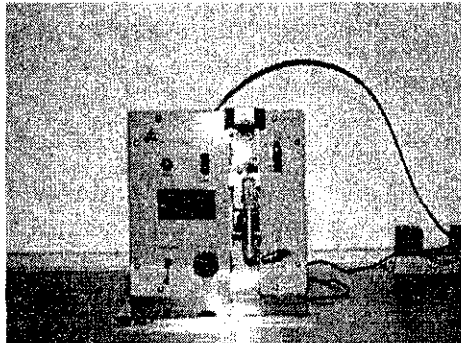
3.2 ทดสอบความพรุนโดยก้าชซีลีเยม

รูปที่ 1 แสดงรูปเครื่องมือการทดสอบความพรุนโดยก้าชซีลีเยม ก้าชซีลีเยมเป็นก้าชเนื้อที่ไม่ทำปฏิกิริยา ขนาดไม่เล็กของก้าชซีลีเยมสามารถแทรกเข้าไปในรูปrunขนาดเล็กได้กว่าก้าชอื่น ปริมาณความพรุนของตัวอย่างอธิบายด้วยคุณสมบัติทางกายภาพ 3 ส่วน คือ ปริมาตรเนื้อแท้ (Grain Volume) ปริมาตรห้องหนด

(Bulk Volume) และ ปริมาตรโพรง (Pore Volume) โดยมี ความสัมพันธ์ดังนี้

$$\text{ปริมาตรโพรง} = \text{ปริมาตรห้องน้ำ} - \text{ปริมาตรเนื้อแท้}$$

$$\text{ความพรุน (\%)} = \frac{\text{ปริมาตรโพรง}}{\text{ปริมาตรห้องน้ำ}} \times 100$$



รูปที่ 1 เครื่องมือทดสอบความพรุนโดยก้าวเดิน

3.3 ทดสอบการซึมผ่านอากาศ

เนื่องจากไม่มีมาตรฐานในการทดสอบการซึมผ่านอากาศของคอนกรีตหรือซีเมนต์เพสต์ ดังนั้นการทดสอบครั้งนี้ใช้ มาตรฐาน ASTM D4525 ซึ่งเป็นการทดสอบการไอลอผ่านอากาศ ของหินในงานปูโถรีบีน การทดสอบครั้งนี้ได้ใช้วิธีดังกล่าว มาประยุกต์ใช้วัดการซึมผ่านอากาศในเพสต์ ซึ่งเป็นวัสดุที่มีลักษณะคล้ายกับหิน

หลอดก้อนตัวอย่างรูปทรงกระบอกเต็มผ่านศูนย์กลาง 38 มม. สูง 50 มม. และคุณลักษณะติดเพื่อป้องกันการระเหยของน้ำ ตลอดแนวข้อศอกที่อายุ 24 ชั่วโมง จากนั้นนำก้อนตัวอย่างไปแช่ในน้ำที่อุณหภูมิห้อง เมื่อครบอายุการทดสอบที่อายุ 28 และ 90 วัน นำก้อนตัวอย่างไปตัดตามขวางบริเวณหัวและท้ายข้อศอกเท่ากัน โดยให้ก้อนตัวอย่างมีความสูง 38 มม. หลังจากนั้นนำไปอบแห้ง ที่อุณหภูมิ 105 ± 5 องศาเซลเซียส เป็นเวลา 7 วัน และนำก้อนตัวอย่างไปเก็บไว้ในโถแก้วที่ปิดสนิท มีชิลก้าเจลอยดูดความชื้น เป็นเวลา 13 วัน [1] ก่อนนำไปทดสอบการซึมผ่านอากาศ

นำก้อนตัวอย่างไปใส่ในเซลทดสอบ ดังแสดงในรูปที่ 2 และนำไปประกอบเข้ากับเครื่องมือทดสอบการซึมผ่านอากาศ แสดงในรูปที่ 3 การหาค่าการซึมผ่านอากาศ หาได้จากการวัดการซึมในสมการที่ 1 โดยการวัดการไอลอของอากาศผ่านก้อน

ตัวอย่างเทียบกับเวลา ใช้ความดันอากาศ 3 ค่า คือ 0.15, 2,

3. เมกะบาร์ascal

$$K = \frac{2Q_e P_e \mu L}{\langle (P_i)^2 - (P_e)^2 \rangle A} \quad (1)$$

K = ค่าสัมประสิทธิ์การซึมผ่านอากาศ, $\text{m}^2 (10^2 \text{ ตารางซม.})$

Q_e = อัตราการไอลอออกของอากาศ, $\text{m}^3/\text{วินาที}$

P_e = แรงดันอากาศที่ไอลอออก, บาร์ascal

L = ความยาวของก้อนตัวอย่าง, ม.

A = พื้นที่หน้าตัดของก้อนตัวอย่าง, m^2

P_i = แรงดันอากาศที่ไอลเข้า, บาร์ascal

μ = ความหนืดของอากาศที่อุณหภูมิทดสอบ, บาร์ascal.วิ

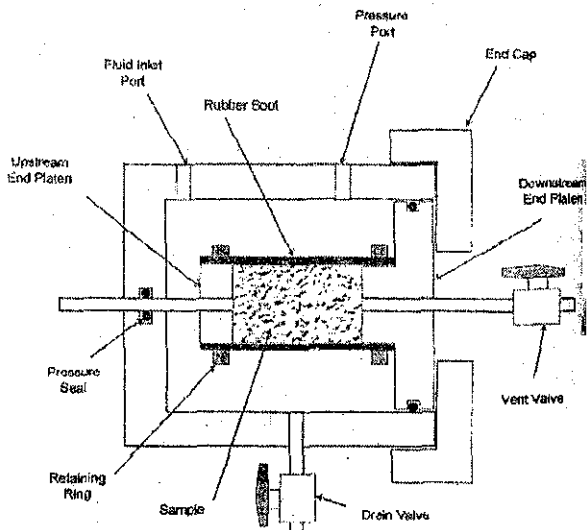
การหาค่าสัมประสิทธิ์การซึมผ่านอากาศที่แท้จริง หาได้ การวิเคราะห์การลดถอย (Regression Analysis)

ความสัมพันธ์ระหว่างการซึมผ่านอากาศ และส่วนกลับ

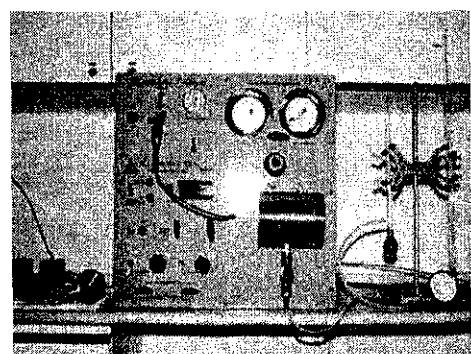
ความดันเฉลี่ย ($1/P_m$, เมื่อ $P_m = (P_i + P_{out})/2$) ค่า สัมประสิทธิ์

ซึมผ่านอากาศที่แท้จริงคือ ค่า a จากสมการ $K = a(1/P_m)$

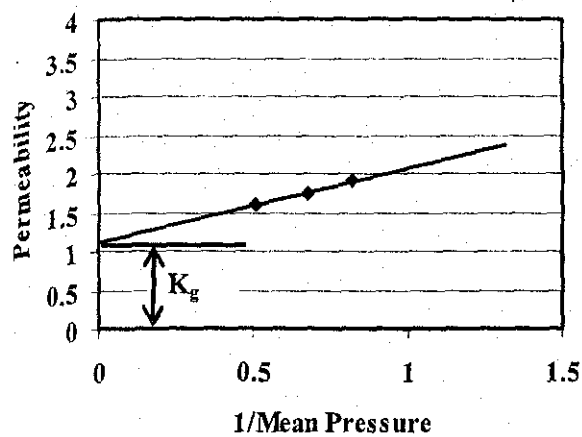
[2, 3, 4, 5, และ 6] ดังแสดงในรูปที่ 4



รูปที่ 2 เซลทดสอบค่าการซึมผ่านอากาศ



รูปที่ 3 เครื่องมือทดสอบการซึมผ่านอากาศ



รูปที่ 4 แสดงการหาค่าการซึมผ่านอากาศที่แท้จริง

I. ผลการทดสอบและการวิเคราะห์

1.1 คุณสมบัติของวัสดุ

ตารางที่ 1 แสดงองค์ประกอบทางเคมีของวัสดุ และตารางที่ 2 ปัจจุบันคุณสมบัติทางกายภาพของวัสดุ จากตารางที่ 1 เถ้าถ่านหิน ห้อง 2 แหล่ง เป็นเถ้าถ่านหิน Class F ตาม ASTM C 618 ความละเอียดที่วัดโดยวิธี Nitrogen Adsorption ของเถ้าถ่านหินที่แยกขนาด CFM และ FFM มีค่าเท่ากับ 2,120 และ 3,150 $\text{m}^2/\text{กг}$ ตามลำดับ ในขณะที่ความละเอียดของเถ้าถ่านหินที่ไม่ได้ผ่านการแยกละเอียด OFM และปูนซีเมนต์ปอร์ตแลนด์ประเภทที่ 1 มีค่าเป็น 1,650 และ 1,315 $\text{m}^2/\text{กг}$ ตามลำดับ เถ้าถ่านหินจากรายของ OFR, CFR, และ FFR มีค่าความละเอียดเท่ากับ 8,220, 11,195 และ 13,240 $\text{m}^2/\text{กг}$ ตามลำดับ (ตารางที่ 2)

รูปที่ 5 แสดงการกระจายตัวของวัสดุประสาน พนว่าหลังจากแยกเถ้าถ่านหินให้มีความละเอียดมากขึ้น เถ้าถ่านหินแม่เมะขนาดอนุภาคเฉลี่ยลดลงจาก 18.6 ไมโครเมตรเป็น 6.4 และ 2.2 ไมโครเมตร ในขณะที่เถ้าถ่านหินระของ OFR, CFR และ FFR ขนาดอนุภาคเท่ากับ 14.1, 6.9, และ 2.3 ไมโครเมตร ตามลำดับ ขนาดพิเศษของเถ้าถ่านหินแม่เมะที่ไม่ผ่านการแยกขนาด จำนวนมากมีรูปร่างกลม มีบางอนุภาคที่มีขนาดใหญ่ถึง 150 ไมครอน โดยผิวของขนาดอนุภาคที่ใหญ่จะไม่เรียบ มีรูปร่างผันผวน ดังแสดงในรูปที่ 6 ขณะที่เถ้าถ่านหินที่ผ่านการแยกขนาดมีรูปร่างกลมนั้น ผิวเรียบ ดังในรูปที่ 6x และ 6c ตามลำดับ ในขณะที่เถ้าถ่านหินระของมีรูปร่างไม่แน่นอน มีร่องรอยและร่องรอย ดังแสดงในรูปที่ 7g, h, และ k ตามลำดับ

รูปที่ 8 แสดงผลการวิเคราะห์การหักเหของรังสีเอกซเรย์ (X -ray Diffraction) ของปูนซีเมนต์ปอร์ตแลนด์ประเภทที่ 1 เถ้าถ่านแม่เมะและเถ้าถ่านหินระของ ผลการทดสอบพบว่า XRD

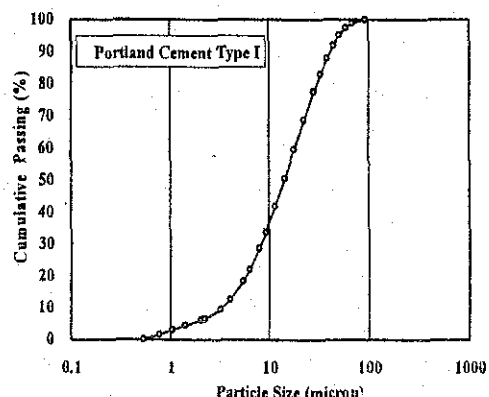
ของปูนซีเมนต์ปอร์ตแลนด์ประเภทที่ 1 มีเฉพาะส่วนที่เป็นผลึกของ C_3S , C_2S , C_3A , และ C_4AF ที่มีคุณสมบัติในการเชื่อมประสาน ดังแสดงในรูปที่ 8g ในขณะที่รูปที่ 8x และ 8c แสดงผล XRD ของเถ้าถ่านหินแม่เมะ และเถ้าถ่านหินระของตามลำดับ จากผลการทดลองพบว่าส่วนประกอบที่เป็นผลึกของ เถ้าถ่านหิน คือ Quartz (SiO_2), Mullite ($\text{Al}_6\text{Si}_2\text{O}_{13}$), และ Hematite (Fe_2O_3) ซึ่งไม่เกิดปฏิกิริยา โดยเถ้าถ่านหินแม่เมะมีจุดยอดของผลึกต่างๆ ไม่ชัดเจน ส่วนจุดยอดของผลึกจากเถ้าถ่านหินระของมีความชัดเจน ฉะนั้นพนว่าเถ้าถ่านหินระของมีความเป็นผลึกสูงกว่าเถ้าถ่านหินแม่เมะ เมื่อพิจารณาผลความละเอียดของ เถ้าถ่านหิน พนว่าจุดยอดของผลึกต่างๆ ระหว่างเถ้าถ่านหินที่ไม่ได้แยกขนาดและเถ้าถ่านหินที่ผ่านการแยกขนาด มีความแตกต่างกันไม่มากนัก จากการศึกษาปริมาณส่วนที่ไม่เป็นผลึก (Glassy Phase) ของ Chindaprasirt และ คณะ [7] พนว่าปริมาณ Glassy Phase ของเถ้าถ่านหินที่ผ่านการแยกขนาดมีประมาณร้อยละ 85-90 สูงกว่าเถ้าถ่านหินที่ไม่ได้แยกขนาด ซึ่งมีค่าปริมาณร้อยละ 70-75 ซึ่งสอดคล้องกับงานวิจัยของ Berry และ คณะ [8] พนว่าปริมาณ Glassy Phase ของเถ้าถ่านหินเพิ่มขึ้น เมื่อเถ้าถ่านหินมีความละเอียดเพิ่มขึ้น

ตารางที่ 1 คุณสมบัติทางเคมีของวัสดุ

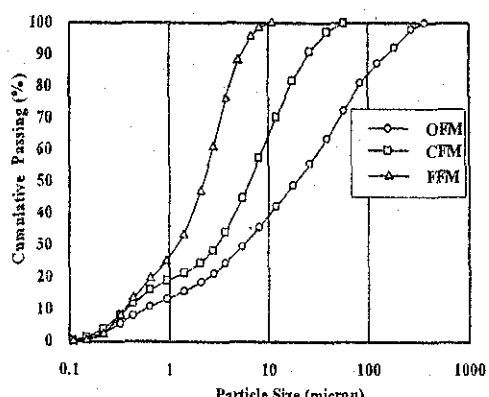
Chemical Composition (%)	Cement Type I	Fly Ash	
		Mae Moh (M)	Rayong (R)
SiO_2	20.9	45.69	45.24
Al_2O_3	4.76	24.59	28.25
Fe_2O_3	3.41	11.26	2.43
CaO	65.41	12.15	11.80
MgO	1.25	2.87	0.74
SO_3	2.71	1.57	3.63
Na_2O	0.24	0.07	0.66
K_2O	0.35	2.66	0.47
LOI	0.96	1.23	2.96

ตารางที่ 2 คุณสมบัติทางกายภาพของวัสดุ

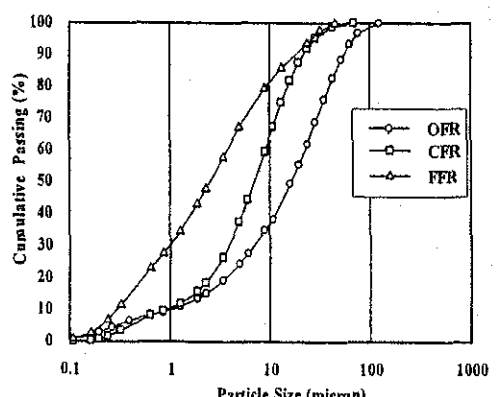
Sample	Median Particle Size (Micron)	Surface Area (m^2/kg) (Nitrogen Adsorption)
PC I	14.1	1,315
OFM	18.6	1,650
CFM	6.4	2,120
FFM	2.2	3,150
OFR	14.1	8,220
CFR	6.9	11,195
FFR	2.3	13,240



ก) ปูนซีเมนต์ปอร์ตแลนด์ประเภท I

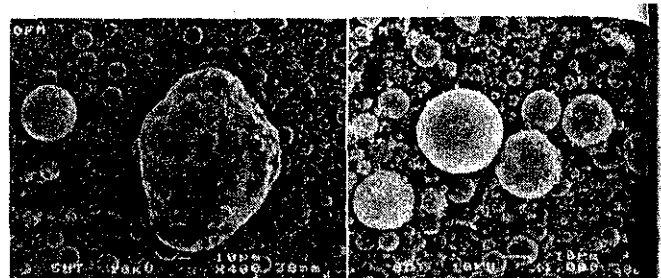


ข) เด็ก้านหินแม่เมะ



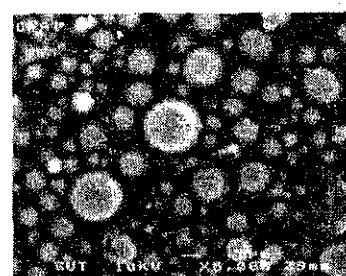
ค) เด็ก้านหินระยอง

รูปที่ 5 การกระจายอนุภาคของวัสดุ



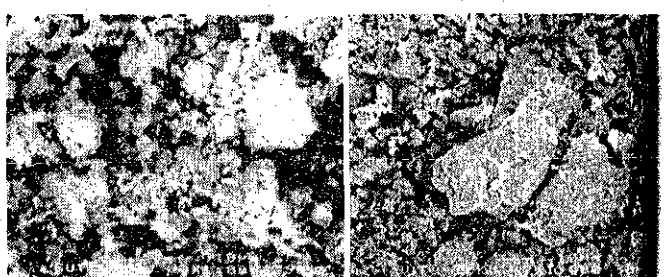
ก) เด็ก้านหิน OFM

ข) เด็ก้านหิน CFM



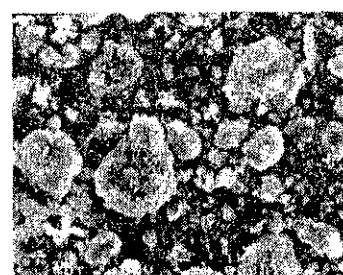
ค) เด็ก้านหิน FFM

รูปที่ 6 ภาพขยายเด็ก้านหินแม่เมะ



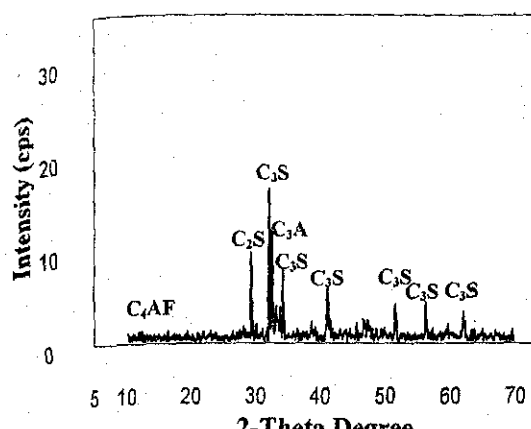
ก) เด็ก้านหิน OFR

ข) เด็ก้านหิน CFR

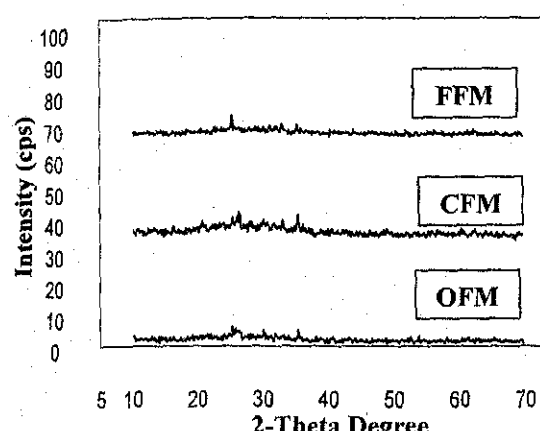


ค) เด็ก้านหิน FFR

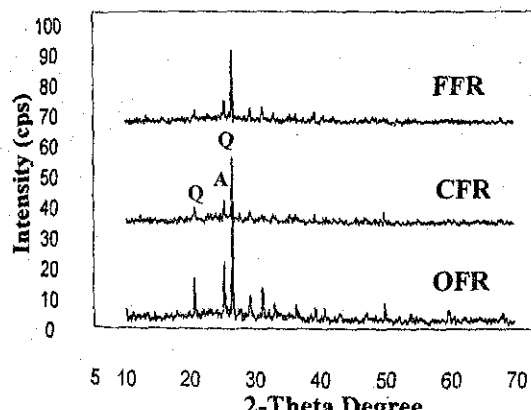
รูปที่ 7 ภาพขยายเด็ก้านหินระยอง



ก) ปูนซีเมนต์ปอร์ทแลนด์ประเภทที่ 1



ข) เถ้าถ่านหินแม่เมะ



ค) เถ้าถ่านหินธรรมชาติ

รูปที่ 8 การหักเหของรังสีเอ็กซ์เรย์ ของปูนซีเมนต์ปอร์ทแลนด์ ประเภทที่ 1 เถ้าถ่านหินแม่เมะ และถ่านหินธรรมชาติ

4.2 ความพรุนโดยก้าวเชิงเส้นของเพสต์

ผลการทดสอบความพรุนของซีเมนต์เพสต์ และเพสต์ฟัลเมต์ เถ้าถ่านหิน แสดงในรูปที่ 9 และ 10 ตามลำดับ จากการทดสอบ พบว่า ความพรุนของเพสต์ฟัลเมต์ เถ้าถ่านหินนี้ค่อนข้างต่ำ เมื่อมีการแทนที่เบ้าถ่านหินที่มีขนาดเล็กในเพสต์ ตัวอย่างเช่น เพสต์ OFM20 ที่อายุ 28 และ 90 วัน มีค่าความพรุนเท่ากับ 26.0 และ 23.0 ตามลำดับ ขณะที่เพสต์ CFM20 และ

FFM20 มีค่าความพรุนร้อยละ 25.1, 20.0 และ 21.2, 19.8 ตามลำดับ (รูปที่ 9) โดยซีเมนต์เพสต์มีความพรุนเท่ากับร้อยละ 24.5 และ 23.5 ตามลำดับที่อายุ 28 และ 90 วัน

พิจารณาความพรุนของเพสต์ฟัลเมต์ เถ้าถ่านหินธรรมชาติในรูปที่ 10 พบว่า ความพรุนของเพสต์มีแนวโน้มเหมือนกับเพสต์ฟัลเมต์ เถ้าถ่านหินแม่เมะ คือ ความพรุนลดลงเมื่อมีการแทนที่เบ้าถ่านหินที่เล็กในเพสต์ ถ้าเปรียบเทียบความพรุนของเพสต์ฟัลเมต์ เถ้าถ่านหินแม่เมะกับเบ้าถ่านหินธรรมชาติ พบว่าเพสต์ฟัลเมต์ เถ้าถ่านหินแม่เมะมีความพรุนต่ำกว่าเพสต์ฟัลเมต์ เถ้าถ่านหินธรรมชาติ เมื่อมีขนาดเล็กในเพสต์ ทำให้เพสต์ฟัลเมต์ เถ้าถ่านหินแม่เมะมีรูปร่างกลมด้านเป็นส่วนใหญ่ ในขณะที่เบ้าถ่านหินธรรมชาติมีรูปร่างเป็นเหลี่ยมนูน มีความพรุนสูง ทำให้เบ้าถ่านหินแม่เมะอุดช่องว่าง และกระจายตัวในเพสต์ได้ดี และความเป็นผลึกต่ำ ทำให้ปฏิกิริยาปอชโซลานเกิดดี

4.3 การซึมผ่านอากาศของเพสต์

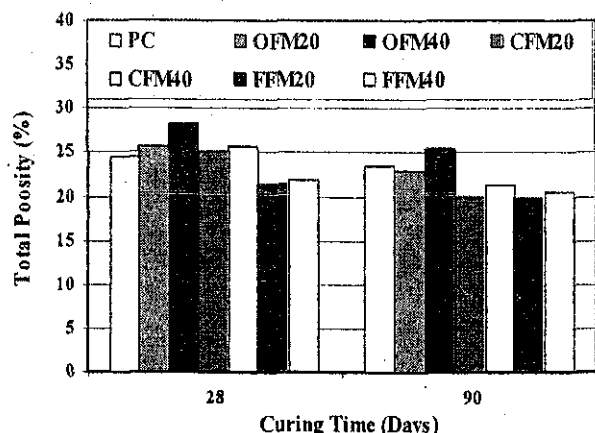
การซึมผ่านอากาศของเพสต์ที่อายุ 28 และ 90 วัน แสดงไว้ในรูป 11 และ 12 ตามลำดับ พบว่าการซึมผ่านอากาศของเพสต์ ทึ้งหมดลดลง เมื่ออายุของเพสต์เพิ่มขึ้น เพราะช่องว่างภายในเพสต์ ลดลง ส่งผลให้การซึมผ่านอากาศลดลงด้วย

พิจารณาเพสต์ฟัลเมต์ เถ้าถ่านหิน พบว่าการแทนที่เบ้าถ่านหินในเพสต์ในปริมาณที่เพิ่มขึ้น ทำให้ค่าการซึมผ่านลดลง และเพสต์ที่ฟัลเมต์ เถ้าถ่านหินที่มีขนาดเล็ก มีค่าการซึมผ่านอากาศของเพสต์ต่ำกว่าเพสต์ที่ฟัลเมต์ เถ้าถ่านหินที่หยานกว่า ยกตัวอย่างเช่น การซึมผ่านอากาศของเพสต์ OFM20 และ OFM40 ที่อายุ 90 วัน มีค่าเท่ากับ 0.54×10^{-16} และ $0.48 \times 10^{-16} \text{ m}^2$ ในขณะที่เพสต์ CFM20 และ CFM40 มีค่าเท่ากับ 0.49×10^{-16} และ $0.38 \times 10^{-16} \text{ m}^2$ เมื่อมีการแทนที่เบ้าถ่านหินที่มีขนาดเล็กลงคือ เพสต์ FFM20 และ FFM40 พบว่าค่าการซึมผ่านอากาศนี้ค่าลดลงเป็น 0.41×10^{-16} และ $0.31 \times 10^{-16} \text{ m}^2$ ตามลำดับ ค่าการซึมผ่านที่ลดลง เมื่อมีการแทนที่เบ้าถ่านหินที่มีขนาดเล็ก เนื่องมาจากการเบ้าถ่านหินขนาดเล็ก มีการกระจายตัวได้ดีในเพสต์ ทำให้ปฏิกิริยาไชเครชันเกิดได้ดี นอกจากนี้ยังช่วยอุดช่องว่างและทำปฏิกิริยาปอชโซลานได้ดีกว่าเบ้าถ่านหินที่หยาน ทำให้เพสต์มีโครงสร้างสม่ำเสมอและแน่นขึ้น ส่งผลให้การซึมผ่านอากาศต่ำลงด้วย

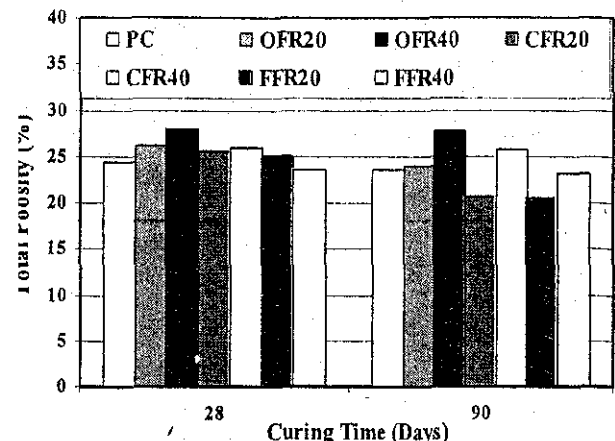
สำหรับเพสต์ที่ฟัลเมต์ เbest เถ้าถ่านหินจากธรรมชาติ พบว่าการซึมผ่านอากาศนี้แนวโน้มเหมือนกับเพสต์ที่ฟัลเมต์ เbest เถ้าถ่านหินแม่เมะ

กล่าวคือ การซึมผ่านอากาศของเพสต์พสมเด็ก้านหินมีค่าลดลง เมื่อมีการแทนที่เด็ก้านหินในปริมาณที่เพิ่มขึ้น และเมื่อมีการแทนที่เด็ก้านหินที่มีขนาดเล็กในเพสต์ และเมื่อเปรียบเทียบ เพสต์ที่พสมเด็ก้านหินแม่เมะ และระยะ พบว่าการซึมผ่านอากาศของเพสต์พสมเด็ก้านหินระยะ 28 วัน มีค่าสูงกว่าเพสต์พสมเด็ก้านหินแม่เมะ ยกตัวอย่างเช่น ที่อายุ 90 วัน เพสต์ OFR20, CFR20, และ FFR20 มีค่าการซึมผ่านเท่ากับ 0.74×10^{-16} , 0.70×10^{-16} , และ $0.69 \times 10^{-16} \text{ m}^2$ ในขณะที่เพสต์ OFM20, CFM20, และ FFM20 มีค่าเท่ากับ 0.54×10^{-16} , 0.48×10^{-16} , และ $0.41 \times 10^{-16} \text{ m}^2$ ตามลำดับ เนื่องจากเด็ก้านหินระยะ มีรูปร่างเป็นเหลี่ยมนูนและมีความพรุนสูง ความเป็นผลิกสูงทำให้ปฏิกริยาปอชโซลานเกิดขึ้นต่ำ เมื่อเปรียบเทียบกับเด็ก้านหินแม่เมะ ส่งผลให้ความพรุนของเพสต์พสมเด็ก้านหินระยะมีค่าสูง ทำให้การซึมผ่านสูงกว่าเพสต์พสมเด็ก้านหินแม่เมะ

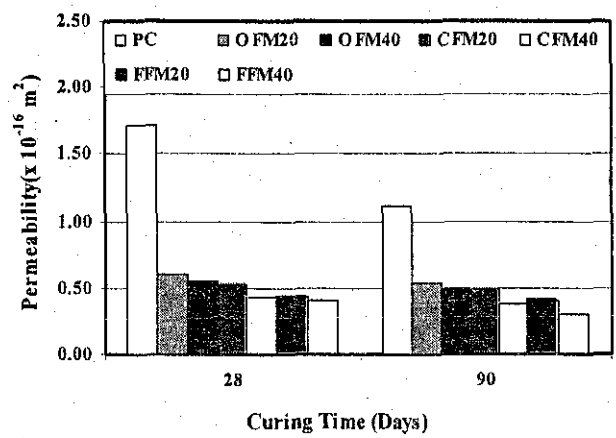
จากการศึกษาขนาดโพรงโดยเฉลี่ยโดยใช้วิธี Mercury Intrusion Porosimetry (MIP) ของ Chindaprasirt และคณะ [9] พบว่า ขนาดโพรงเฉลี่ยของเพสต์พสมเด็ก้านหินมีค่าลดลง เมื่อแทนที่เด็ก้านหินในปริมาณที่เพิ่มขึ้น และเมื่อมีการแทนที่เด็ก้านหินที่มีขนาดเล็กในเพสต์ ขนาดโพรงเฉลี่ยของเพสต์ลดลง ด้วย เมื่อเทียบกับเด็ก้านหินที่หยอดกกว่า ดังนั้นการใช้เด็ก้านหินแทนที่บางส่วนของบุนชิเมนต์ทำให้ความพรุนมากขึ้น แต่ขนาดโดยเฉลี่ยของโพรงมีขนาดเล็กลง เนื่องจากขนาดโพรงเฉลี่ยที่เล็กและปริมาณโพรงที่มาก การซึมผ่านอากาศใช้เวลานานขึ้น ทำให้ค่าการซึมผ่านอากาศลดลง



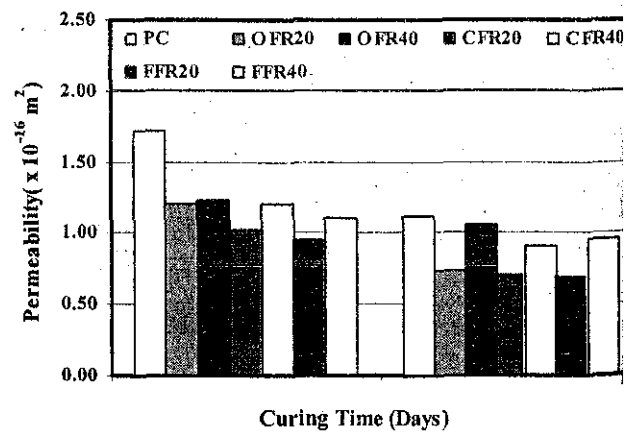
รูปที่ 9 ความพรุนของชิเมนต์เพสต์และเพสต์พสมเด็ก้านหินแม่เมะ ที่อายุ 28 และ 90 วัน



รูปที่ 10 ความพรุนของชิเมนต์เพสต์และเพสต์พสมเด็ก้านหินระยะ ที่อายุ 28 และ 90 วัน



รูปที่ 11 การซึมผ่านอากาศของชิเมนต์เพสต์ และเพสต์พสมเด็ก้านหินแม่เมะที่อายุ 28 และ 90 วัน



รูปที่ 12 การซึมผ่านอากาศของชิเมนต์เพสต์ และเพสต์พสมเด็ก้านหินระยะ ที่อายุ 28 และ 90 วัน

5. สรุปผลการทดลอง

- จากผลการศึกษาเพสต์ของปูนซีเมนต์ที่มีการแทนที่ด้วยถ่านหิน สามารถสรุปได้ดังนี้
1. การแทนที่ถ่านหินที่ไม่ได้แยกขนาดจากกรวยละ 20 เป็นร้อยละ 40 ในเพสต์ ทำให้ความพรุนสูงขึ้น แต่การซึมน้ำผ่านอาจลดลง
 2. การแทนที่ถ่านหินที่มีขนาดเล็กลง ทำให้ความพรุนของเพสต์ต่ำลง เมื่อเทียบกับถ่านหินที่มีขนาดใหญ่กว่า และมีผลทำให้การซึมน้ำผ่านอาจลดลงด้วย
 3. เพสต์ที่ผสมถ่านหินระบายน้ำความพรุนและการซึมน้ำผ่านอาจสูงกว่าเพสต์ที่ผสมถ่านหินแม่น้ำ

6. กิตติกรรมประกาศ

การวิจัยนี้ได้รับการสนับสนุนจากคณะกรรมการอุดมศึกษาภายในโครงการพัฒนาอาจารย์ สาขาวิชาคณิตศาสตร์เพื่อศึกษาภายในประเทศไทย ตามความต้องการของมหาวิทยาลัยเทคโนโลยีสุรนารี และสำนักงานกองทุนสนับสนุนการวิจัย (สกว.) ภายใต้โครงการปริญญาเอกคณาจารย์ นักวิชาชีวะ นักวิทยาศาสตร์ นักวิศวกรรมศาสตร์และมหาวิทยาลัยเทคโนโลยีสุรนารี ที่ให้ความสำคัญด้านอุปกรณ์ เครื่องมือและห้องปฏิบัติการ

7. เอกสารอ้างอิง

- [1] Koller, J.J., 1989, "The Determination of the Permeability of Concrete to Oxygen by the Cembureau Method-a Recommendation", *Materials and Structure*, Vol. 22, pp. 225-230.
- [2] Tsivilis, S., Chaniotakis, E., Batis, G., Meletiou, C., Kasselouri, V., Kakali, G., Sakellariou, A., Paulakis, G. and Pseimidas, C., 1999, "The Effect of Clinker and Limestone Quality on the Gas Permeability, Water Absorption and Pore Structure of Limestone Cement and Concrete", *Cement & Concrete Composites*, Vol. 21, No. 2, pp. 139-146.
- [3] Tsivilis, S., Tsantilas, J., Kakali, G., Chaniotakis, E. and Sakellariou, A. 2003 "The Permeability of Portland Limestone Cement Concrete", *Cement and Concrete Research*, Vol. 33, pp. 1465-1471.
- [4] Abbas, A., Carcasses, M. and Ollivier, J.P., 1999, "Gas Permeability of Concrete in Relation to its Degree of Saturation", *Materials and Structures*, Vol. 32, pp. 3-8.
- [5] Carcasses, M., Abbas, A., Ollivier, T.-P. and Verdier, J., 2002, "An Optimised Precondition Procedure for Gas Permeability Measurement", *Materials and Structure*, 2002, Vol. 35, pp. 22-27.
- [6] Dhir, R. K., Hewlett, P. C. and Chan, Y. N., 1989, "Near Surface Characteristics of Concrete: Intrinsic Permeability", *Magazine of Concrete Research*, Vol. 41(147), pp. 87-97.
- [7] Chindaprasirt, P., Ruangsiriyakul, S., Cao, H. T. and Bucea, L., 2001, "Influence of Mae Moh Fly Ash Fineness on Characteristics, Strength and Drying Shrinkage Development of Blended Cement Mortars", *Proceedings of the Eighth East Asia-Pacific Conference on Structural Engineering and Construction*, Singapore, 5-7 December, Paper No. 1191, p.6.
- [8] Beery, E.E., Hemmings, R.T., Langley, W.S. and Carette, G.G., "Beneficiated Fly ash: Hydration, Microstructure, and Strength Development in Portland Cement Systems", In: V.M. Malhotra (Ed.), Third CANMET/ACI, *Conference On Fly Ash, Silica Fume, Slag, and Natural Pozzolans in Concrete (SP-114)*, Detroit, 1989, pp. 241-273.
- [9] Chindaprasirt, P., Jaturapitakkul, C. and Sinsiri, T., 2005, "Effect of Fly Ash Fineness on Compressive Strength and Pore Size of Blended Cement Paste", *Cement & Concrete Composites*, Vol. 27, pp. 425-428.

ต้องการข้อมูลเพิ่มเติม ติดต่อ ดร.วัฒน์ สินศิริ, ภาควิชาวิศวกรรมโยธา, มหาวิทยาลัยเทคโนโลยีสุรนารี, นครราชสีมา, 30000 โทร. 0-4422-4220-1, โทรสาร 0-4422-4220,
E-mail: sinsiri@sut.ac.th